

## 高三年级适应性练习

# 地 理

说明：

1. 本试卷第I卷和第II卷共6页,全卷100分,考试时间75分钟。
2. 答题前,考生务必将自己的姓名、准考证号填写在答题卡上指定的位置。
3. 全部答案在答题卡上完成,答在本试卷上无效。考试结束后,将答题卡交回。

### 第I卷(选择题 共48分)

一、选择题(本题共16小题,每小题3分,共48分。在每个题给出的四个选项中只有一个是符合题目要求的。)

青岛以丘陵地形为主,其土地利用方式主要为城市用地、乡镇居民用地、耕地和林地等。近年来,青岛市社会经济发展迅速,土地利用结构变化显著,碳排与碳汇空间匹配严重失衡。研究者根据青岛土地利用碳收支数据,绘制出全市碳平衡优化分区示意图(图1),其中碳汇保育区的碳排与碳汇保持低水平平衡。据此完成1~2题。

1. 推测图示中土地利用类型为

- A. 高碳调控区为城市中心用地
- B. 中碳发展区为林业用地
- C. 碳汇保育区为乡镇居民用地
- D. 碳汇核心区为耕作用地

2. 为实现“碳中和”目标,青岛市高碳调控区优化发展方向是

- A. 优化农业发展结构,提高林业规模
- B. 扩大农业用地范围,增加粮食种植
- C. 划定自然保护公园,修复受损生态
- D. 扩展城市森林公园,增加绿地空间

光伏装备制造业包括晶体硅制造、光伏组件生产、光伏电站建设等多个环节。光伏装备制造企业在选择区位时,会根据自身的特点和需求,综合考虑区位条件的优劣,以实现效益最大化。图2为中国光伏装备制造业空间布局模式图。据此完成3~4题。



图1

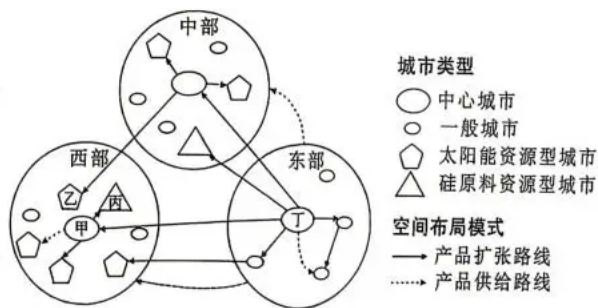


图2

3. 与中部相比,西部承接光伏制造业转移的主要优势是

- A. 产业基础好      B. 光能资源丰富      C. 经济水平高      D. 劳动力成本低

4. 甲乙丙丁在光伏装备制造产业链中承担的主要环节是

- A. 甲—晶体硅生产      B. 乙—光伏组件制造  
C. 丙—光伏电站建设      D. 丁—光伏组件研发

城市道路网是城市交通系统的基本骨架,其规划和使用情况影响城市用地空间格局。图3为某特大城市中心城区及卫星城的交通道路网现状图,是依据城市交通运行状况、道路连通度等指标对路网承载力测算绘制。据此完成5~6题。

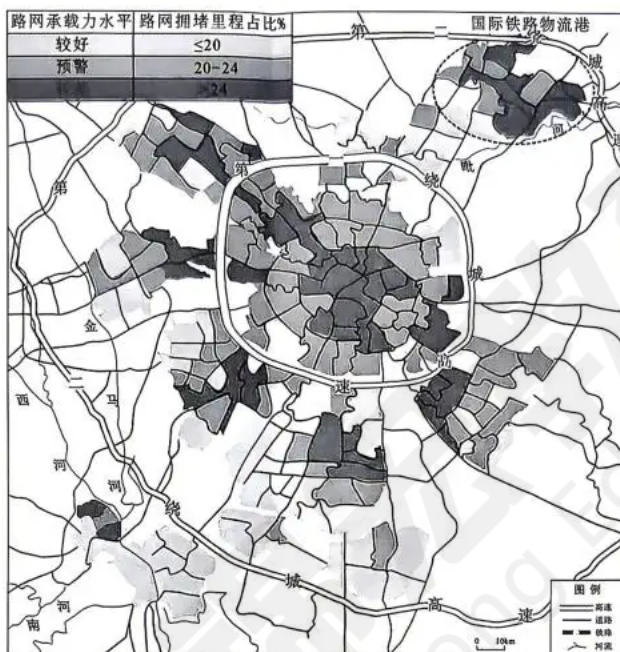


图3

5. 该特大城市路网承载水平较差的区域整体

- A. 路网密度低      B. 交通方式少      C. 位于老城区      D. 居住人口少

6. 国际铁路物流港所处区域路网承载力水平低的最主要原因是

- A. 道路网密度低      B. 道路老化严重      C. 货物转运量大      D. 距中心城区远

7. 为缓解国际铁路物流港交通拥堵,首先应完善该物流港的

- A. 地铁建设      B. 铁路建设      C. 航空建设      D. 公路建设

云南西双版纳勐养谷地山坡自然带分布规律异常,从谷底至谷顶自然带及其海拔依次为:热带雨林带(600-800m)——亚热带常绿阔叶林带(900-1400m)——热带雨林带(1600-1800m)。勐养气象监测站(771m)测定谷地部分区域11月某两日部分时段垂直气温变化(图4),该时段气温垂直变化规律在全年具有普遍性。据此完成8~10题。

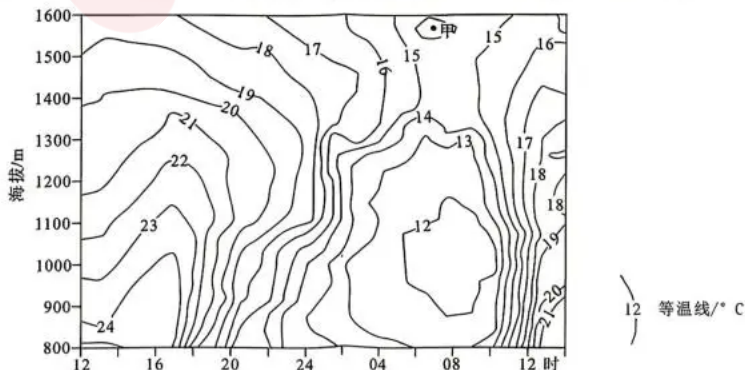


图4

8. 甲点的气温范围可能是

- A. 12°C-13°C      B. 13°C-14°C      C. 14°C-15°C      D. 15°C-16°C

9. 亚热带常绿阔叶林带较坡面上下两侧热带雨林带

- A. 海拔高度较高      B. 蒸腾作用较强      C. 大气降水较多      D. 浓雾天气较多

10. 推测 5-10 时海拔 900-1200m 高度范围常形成异常低温的最主要原因是

- A. 坡上气团下沉      B. 地面辐射冷却      C. 植被蒸腾吸热      D. 冷暖空气交汇

秦岭山脉主体呈东西走向,是黄河水系与长江水系的重要分水岭。中-晚新生代时期,随着秦岭所在区域发生显著的地形变化,秦岭南北两侧的水系发生了大规模重组。图 5 为汉江上游水系变化图。据此完成 11~13 题。

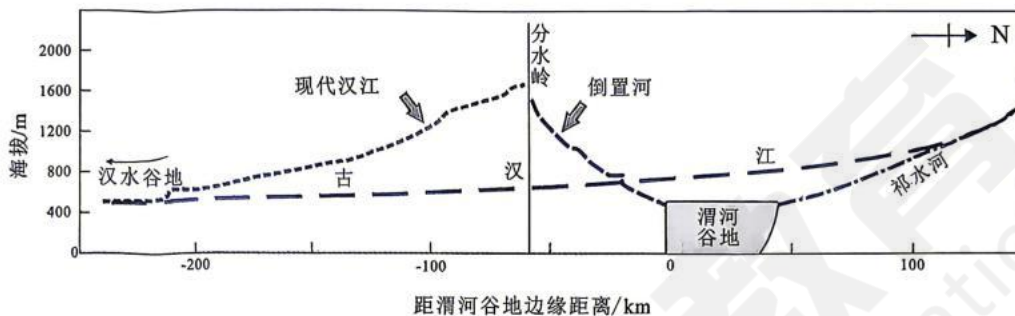


图 5

11. 据图推测汉江上游整体

- A. 流域扩大      B. 流程缩短      C. 落差减小      D. 干流反向

12. 秦岭北坡向渭河谷地的输沙量远大于秦岭南坡向汉水谷地,主要原因是北坡

- ①流量充沛      ②坡度更陡      ③流速更快      ④水系发达

- A. ①②      B. ②③      C. ③④      D. ①④

13. 假定研究区地壳稳定,在持续的外力作用下,秦岭山脉主脊

- A. 北坡侵蚀强烈,分水岭南移      B. 南坡侵蚀强烈,分水岭北移  
C. 北坡侵蚀强烈,分水岭稳定      D. 南坡侵蚀强烈,分水岭稳定

以“土楼”为代表的夯土民居建筑在我国浙闽地区广泛分布(图 6)。调查发现,较多土楼存在特殊的“内倾壁”现象,即墙体修筑时特意沿垂直方向内倾(图 7)。由于新筑墙体本身具有较高含水率,阳面因干燥速率较快而迅速硬化,使墙体整体向阳面外倾,最终导致建筑结构失稳,因此工匠在修筑墙体时,将墙体向内倾斜一定角度抵抗外倾变化。杭州市中国国家版本馆采用传统的夯土墙建造工艺,为减少墙体收缩,工匠们运用相应的保护手段进行修建。据此完成 14~16 题。

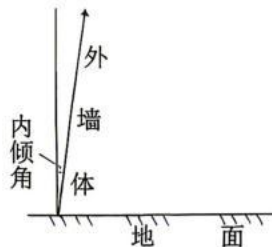


图 6

图 7

14. 使用相同建材,夯土墙内倾角度最大的一面是

- A. 东北壁      B. 东南壁  
C. 西南壁      D. 西北壁

15. 若后期民居新筑夯土墙更薄,则外墙体干燥速度及预留内倾角会
- A. 加快 内倾角增大                      B. 变慢 内倾角增大
- C. 加快 内倾角减小                      D. 变慢 内倾角减小
16. 杭州中国国家版本馆为减少夯土墙失水倾斜的幅度,可能需要对
- A. 外墙加速通风                          B. 外墙采取遮盖
- C. 内墙加热烘烤                          D. 内墙放置冰块

## 第 II 卷(非选择题 共 52 分)

### 二、非选择题(本大题共 3 题,共 52 分。)

17. 阅读图文材料,完成下列要求。(18分)

2018年9月印度尼西亚因强烈地震引发帕卢河谷较缓坡地区发生灾难性滑坡,图8为滑坡区及周边区域图。帕卢河谷农业生产以椰林和水稻种植为主,图8中除旱地和林地以外农业用地均为水稻灌溉用地,区域内大量引水灌溉使地下水位改变,导致土壤饱和液化。研究发现,此次滑坡与河谷内的水稻灌溉工程直接相关,其关联原理见图9。

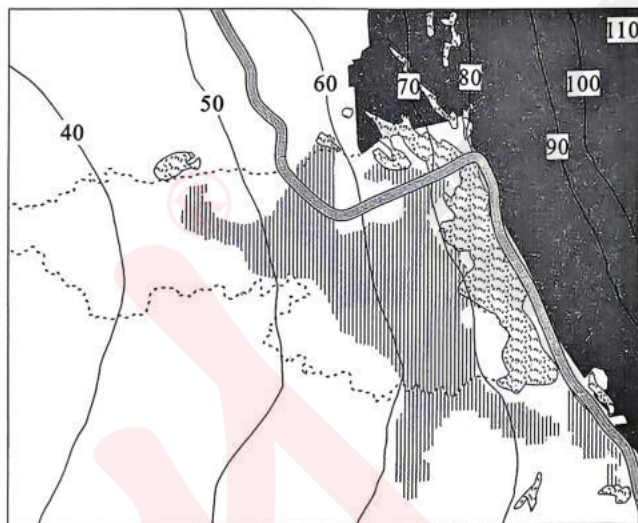


图 8

0 500m

冲积扇 椰林区

灌渠 滑坡区 旱地 水稻区

60 等高线/m

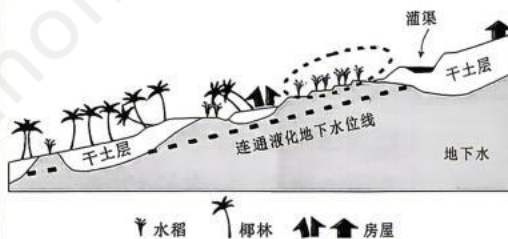


图 9

(1)描述图8中滑坡区的位置特点。(4分)

(2)与椰林区相比,结合图9说明水稻灌区上部滑坡灾害易发的原因。(6分)

(3)为降低此类滑坡风险,从农业生产角度对图9中上段灌区(椭圆虚线内)提出优化措施,并说明理由。(8分)

## 18. 阅读图文材料,完成下列要求。(16分)

毛乌素沙地东南缘紧邻黄土高原,冬季风搬运其砂砾在黄土高原形成巨厚的堆积体。研究者通过测量黄土高原甲地土层剖面粒径变化,反推出①(距今360万—258万年前)—②(距今2.6万—1.9万年—末次盛冰期)—③(距今约9000—5000年)时期毛乌素沙地东南缘位置分布,图10为毛乌素沙地东南缘三个时段位置示意图。

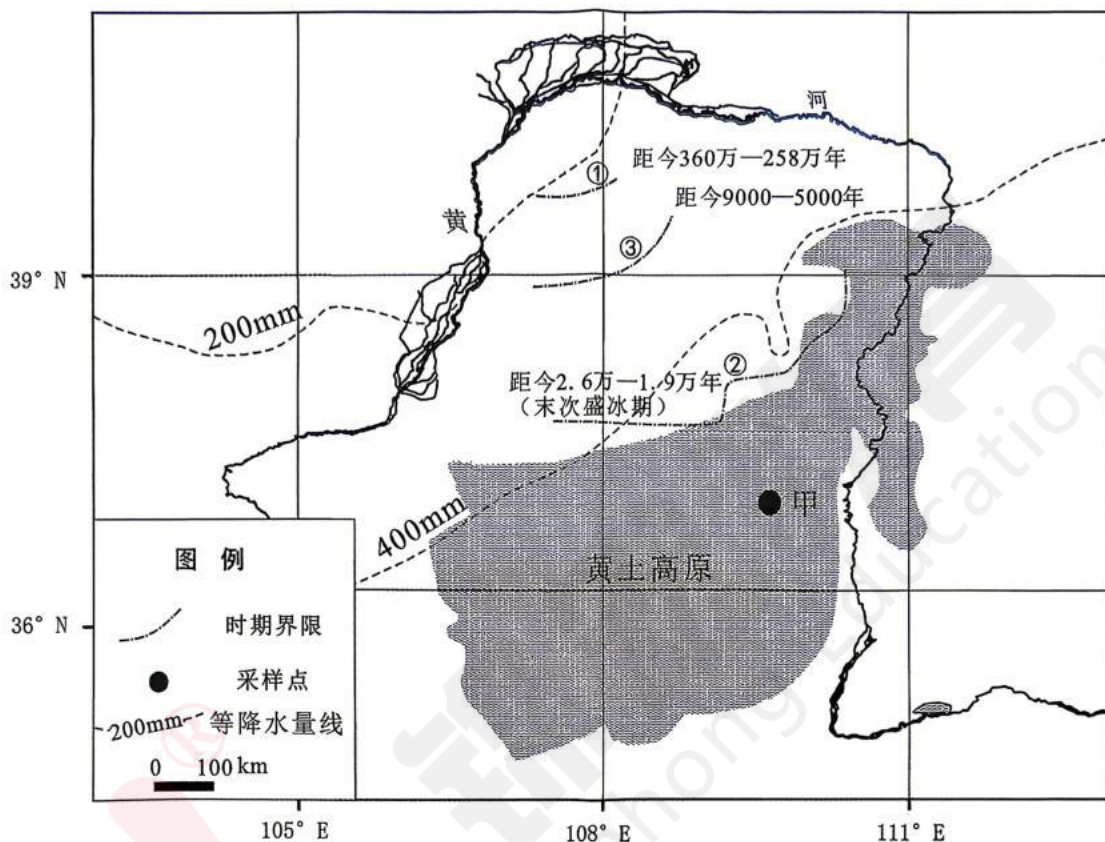


图10

(1)根据毛乌素沙地东南缘位置变化,推测①至③时期区域气候特点的变化。(4分)

(2)与①③两时期相比,②时期甲地黄土层平均粒径更大,从风力作用角度简析其原因。(6分)

(3)②时期毛乌素沙地东南缘与明清时期沙地界线几乎重合,有人认为明清时期沙地界线位置主要是人类活动所致,试依据材料论证这一说法的合理性。(6分)

## 19. 阅读图文材料,完成下列要求。(18分)

淮河流经的安徽省某区域,因中部地势平坦广阔,被划定为行洪蓄洪区。为确保蓄洪期间的居住安全,区内居民就地挖土成塘、垒土筑台,将村庄建于台基上,称为庄台,并依托临近庄台的土地资源和水塘发展农业耕作与水产养殖(图11)。2004年后,随着该区淮河人工裁直以及上游水利工程的修建,行洪蓄洪区功能弱化,区域内庄台作为典型人居场所的功能逐渐消失。为提高耕地利用率,该区域拟推广农业规模化生产。

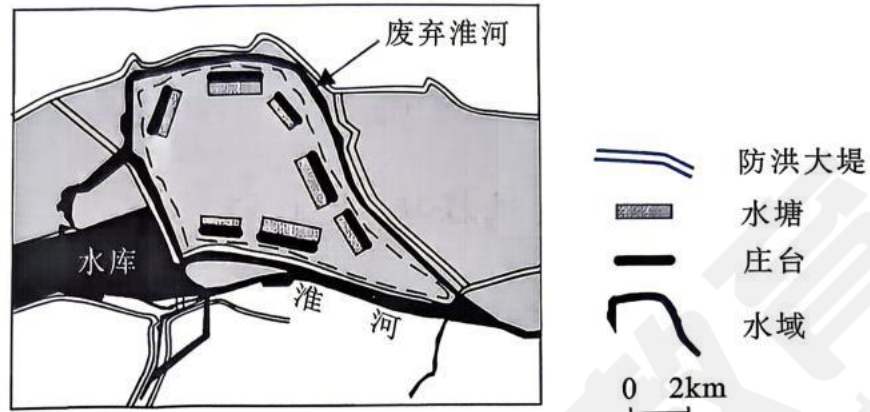


图11

(1) 简述庄台与水塘的空间关联特征。(4分)

(2) 评价行洪蓄洪对庄台周边耕作生产的利弊影响。(8分)

(3) 说明该区域拟推广农业规模化生产的社会支撑条件。(6分)